

# 2023届高三仿真模拟考试(二) 河北卷

## 地理试题

### 注意事项:

- 答卷前,考生务必将自己的姓名、考场号、座位号、准考证号填写在答题卡上。
- 回答选择题时,选出每小题答案后,用铅笔把答题卡上对应题目的答案标号涂黑。如需改动,用橡皮擦干净后,再选涂其他答案标号。回答非选择题时,将答案写在答题卡上。写在本试卷上无效。
- 考试结束后,将本试卷和答题卡一并交回。

考试时间为75分钟,满分100分

### 一、选择题:本题共15小题,每小题3分,共45分。在每小题给出的四个选项中只有一项是最符合题目要求的。

科罗拉多大峡谷地处美国西南部高原地区,科罗拉多河穿峡谷而过,大峡谷崖壁上裸露的岩层年代跨度非常大,被誉为一部“活的地质教科书”。峡谷顶部分布有石灰岩,约在2.5亿年前形成,在该岩层中可以发现贝壳、珊瑚等生物化石。不同时期的同类型生物化石还出现在其他岩层当中。据此完成1~3题。

#### 1. 科罗拉多峡谷顶部的石灰岩地层

- A. 可能有哺乳动物化石  
B. 生成于浅海环境  
C. 在远离海岸沉积形成  
D. 由岩浆活动形成

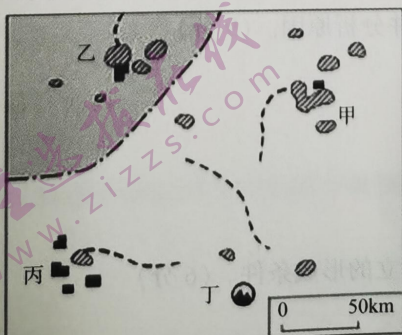
#### 2. 造成大峡谷崖壁岩层出露的地质作用过程是

- A. 地壳抬升—风力侵蚀  
B. 地壳张裂—流水侵蚀  
C. 地壳抬升—流水侵蚀  
D. 地壳张裂—风力侵蚀

#### 3. 不同时期的贝壳、珊瑚等生物化石在不同岩层中出现,说明该地

- A. 海岸线反复向前推进或后退  
B. 受地壳运动影响岩层倒置  
C. 海岸线位置相对稳定  
D. 岩层越往下形成时间越晚

M县在制定县域内精准扶贫方案时,规划将某个村实行生态搬迁。读图1,完成4~5题。



图例

- 地质公园
- - - 县界
- - - 时令河
- 居民点
- 绿洲
- M县
- N县

图1

4. 考虑环境承载力等因素,该村最适宜选址在  
 A. 甲      B. 乙      C. 丙      D. 丁
5. 搬迁后,该村适宜重点开展的生产经营活动是  
 A. 开采矿山      B. 放养牛羊      C. 种植棉花      D. 水上漂流
- 根据关键区域(虚线框内)风场辐合情况,冬季强华南准静止锋可分为三类。图2示意三类冬季强华南准静止锋及其850百帕等压面上 $\geq 4\text{m/s}$ 的风场。据此完成6~7题。

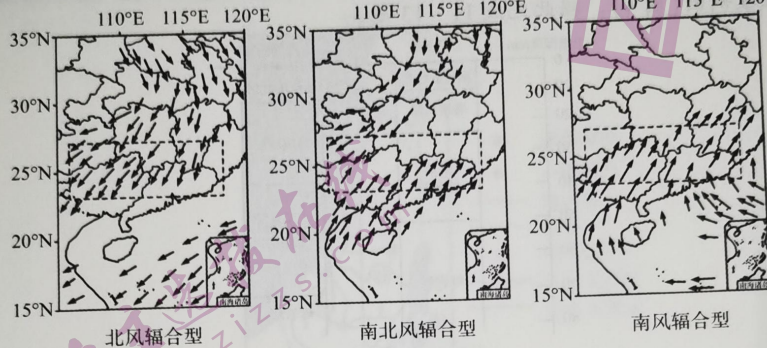


图2

6. 与北风辐合型相比,南风辐合型关键区域降水更多。下列解释合理的是

- A. 雨区范围更大      B. 冷空气势力更强  
 C. 水汽量更充足      D. 地形阻挡更明显

7. 受南北风辐合型冬季强华南准静止锋的影响,广东省北部地区

- A. 低温雨雪频发      B. 土壤侵蚀加剧  
 C. 河流入汛提前      D. 昼夜温差增大

2011年日本福岛核泄漏事件之后,德国宣布放弃核电而重点发展光伏发电。图3示意2014年某日德国电力总需求和电力净需求的变化(电力净需求量=电力总需求量-光伏发电量),据此完成8~10题。

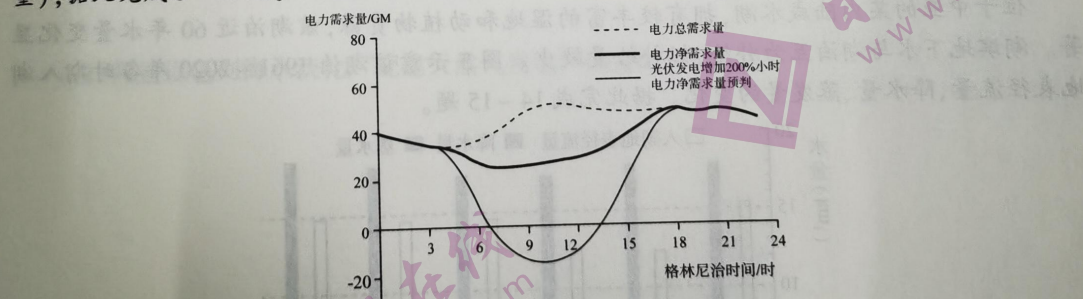


图3

8. 图3所示这一天所在的月份是

- A. 3月      B. 6月      C. 9月      D. 12月

9. 随着光伏发电量的增加,电力净需求量

- A. 全天性减少      B. 时段性增加      C. 时段性减少      D. 不发生变化

10. 降低夜间的电力净需求量,关键是发展

- A. 火力发电技术
- B. 光伏发电技术
- C. 特高压输电技术
- D. 电能储存技术

研究人员在青海湖某支流上游( $37^{\circ}25'N, 100^{\circ}15'E$ )选取一处河谷开展土壤实地测量研究。该支流以大气降水补给为主,流域内多年平均降水量为370mm,主要集中在6~9月份,多年平均蒸发量为607mm。研究人员在研究区内分别选取阳坡和阴坡各一处钻孔取样测量,并绘制了两钻孔处土壤剖面(图4)。据此完成11~13题。



图4

11. 与甲土壤剖面相比,乙土壤剖面

- A. 剖面构造简单
- B. 淋溶作用弱
- C. 有机质含量高
- D. 母岩层埋藏浅

12. 造成甲、乙剖面土壤腐殖质层厚度差异的主要影响因素是

- A. 海拔
- B. 光照
- C. 地形
- D. 水分

13. 与阳坡相比,阴坡土壤有机碳分布在垂直方向上

- A. 随土层深度增加下降幅度小
- B. 各个土层含量较低
- C. 随土层深度增加含量在增加
- D. 受地表植被影响小

位于中亚的某内陆咸水湖,拥有较丰富的湿地和动植物资源,该湖泊近60年水量变化显著。湖滨地下水与湖泊互为补给,但补给量较少。图5示意该湖泊1961~2020年各时期入湖地表径流量、降水量、蒸发量的变化。据此完成14~15题。

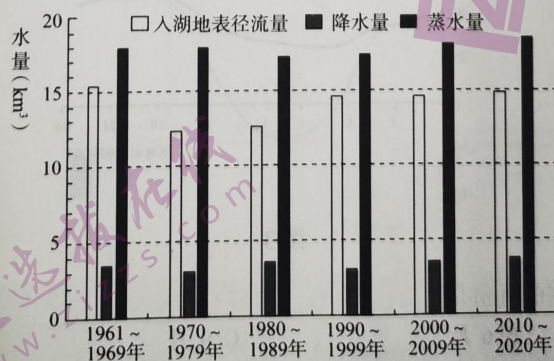


图5

14. 引起该湖泊近 60 年水量变化的主导因素是  
 A. 气温  
 C. 蒸发量
15. 推测湖滨地下水补给该湖泊较多的时期是  
 A. 1961~1979 年  
 C. 1980~1999 年

B. 降水量  
 D. 地表径流量

B. 1970~1989 年  
 D. 2000~2020 年

**二、非选择题：本题共 3 小题，共 55 分。**

16. 阅读图文资料，完成下列要求。（19 分）

夷平面是在长期地壳相对稳定过程中，受到外力侵蚀形成的面，其上常有风化壳或其他碎屑堆积，常遭受后期的抬升切割和埋藏。王莽岭国家地质公园位于太行山南段，曾存在三个不同时期的夷平面，现只剩最近一次形成的太行期夷平面。太行期夷平面之下发育了古宽谷，古宽谷上部是岩性较硬的灰岩，下部是岩性较软的泥质灰岩。古宽谷下方是谷壁接近直立的大峡谷。图 6 示意王莽岭园区地质剖面。

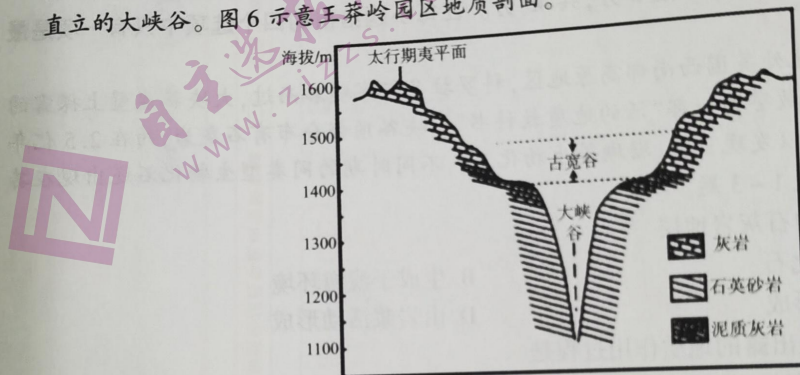


图 6

- (1) 推测王莽岭太行期古夷平面之前的夷平面未保留下来的可能原因。（4 分）

- (2) 指出王莽岭古宽谷坡度特点，并分析原因。（9 分）

- (3) 指出王莽岭大峡谷谷壁接近直立的形成条件。（6 分）

17. 阅读图文资料,完成下列要求。(18分)

吉兰泰盐湖地处中国最大的沙尘暴源地——阿拉善高原东南部,为贺兰山—巴音乌拉山山间盆地的最低处,盆地西南边缘为腾格里沙漠,东北部毗邻乌兰布和沙漠,西北部与亚玛雷克沙漠隔山相望,为三大沙漠的交界地,盛行西北风。为防止风沙侵袭,保证盐湖正常生产,当地于1983年构建综合防护林体系。该体系整体垂直于西北风向,自西北向东南依次分布着草方格(固定沙丘)、白刺灌丛、乔灌草防护林带、盐碱滩地(盐湖周边生长植被地区)、盐湖湖心(盐湖边缘无植被地带)。图7示意吉兰泰盐湖防护林体系不同部位多年平均风速变化。

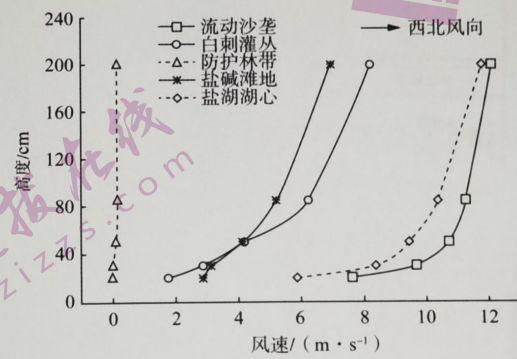


图 7

(1) 描述西北风掠过防护林体系时,不同部位近地面风速的变化过程。(4分)

(2) 简述综合防护林体系垂直方向上风速的变化特点,并分析其原因。(8分)

(3) 指出风沙天气过后,综合防护林体系各部位风沙的侵蚀、堆积状态差异。(6分)

18. 阅读图文材料,完成下列要求。(18分)

为缓解淡水资源短缺问题,以色列政府从2001年开始推行海水淡化计划,鼓励企业实行“电水联产”模式,即企业在建设海水淡化厂时,兴建以地中海丰富的天然气为能源的电厂,且并入国家电网(由进口煤炭发电支撑,成本较高)。目前地中海沿岸地区已建成5家这样的海水淡化厂,每年生产的淡水相当于全国淡水用量的1/3,且被统一纳入国家供水网络优先利用。图8示意以色列地中海沿岸地区海水淡化厂及供水网络的分布。

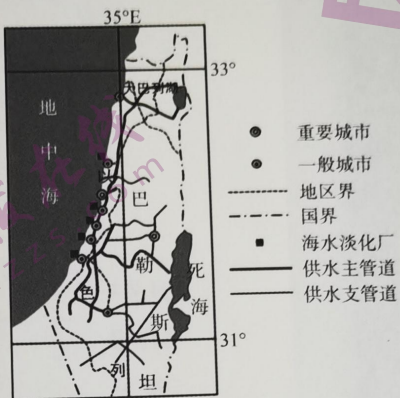


图8

(1)说明以色列海水淡化厂的区位特点。(6分)

(2)简述以色列海水淡化厂配建天然气发电厂的益处。(6分)

(3)指出以色列将海水淡化水纳入国家供水网络的目的。(6分)